



Aula 7 – 08/07

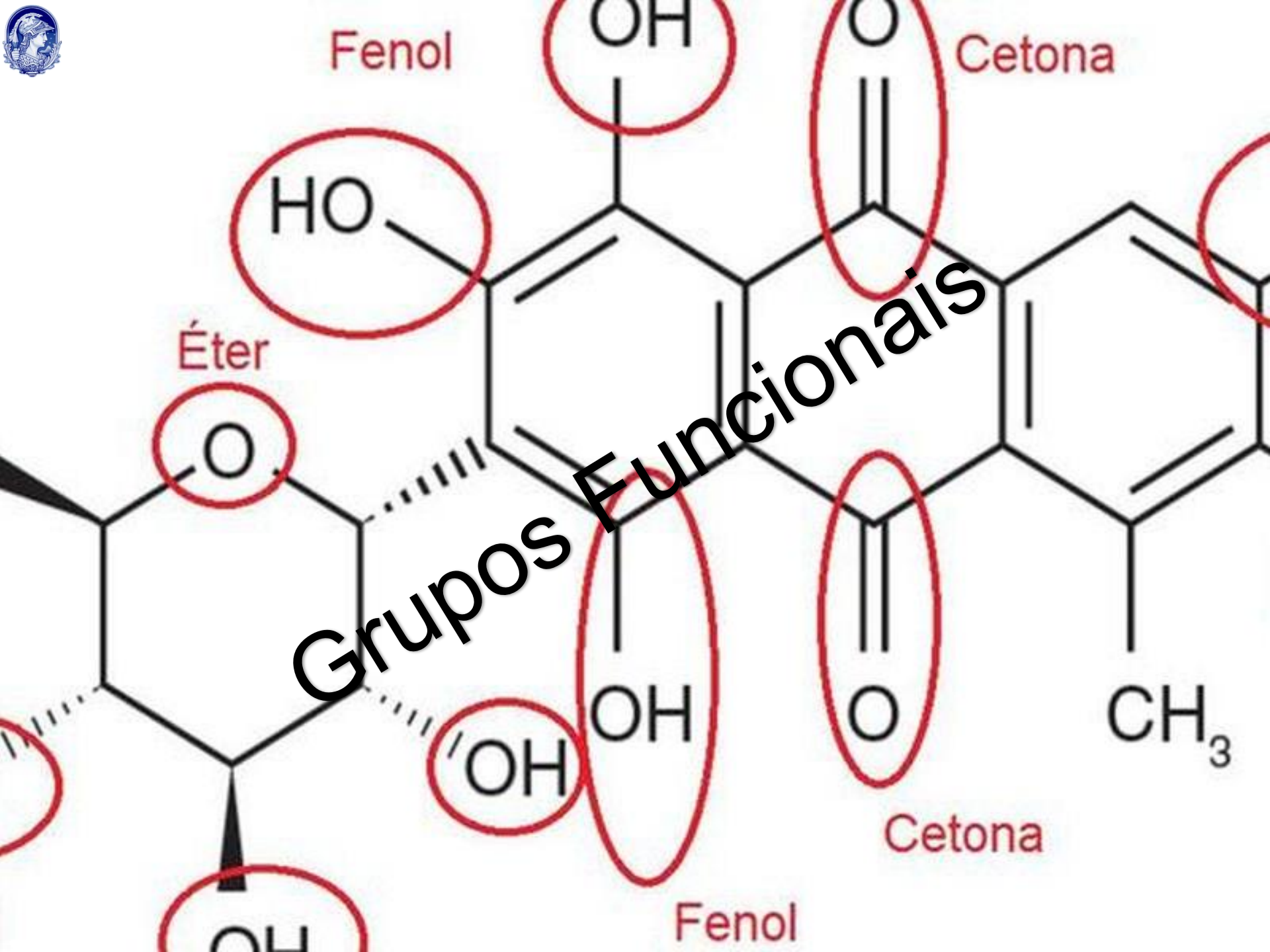
Tópicos Especiais em Química Medicinal

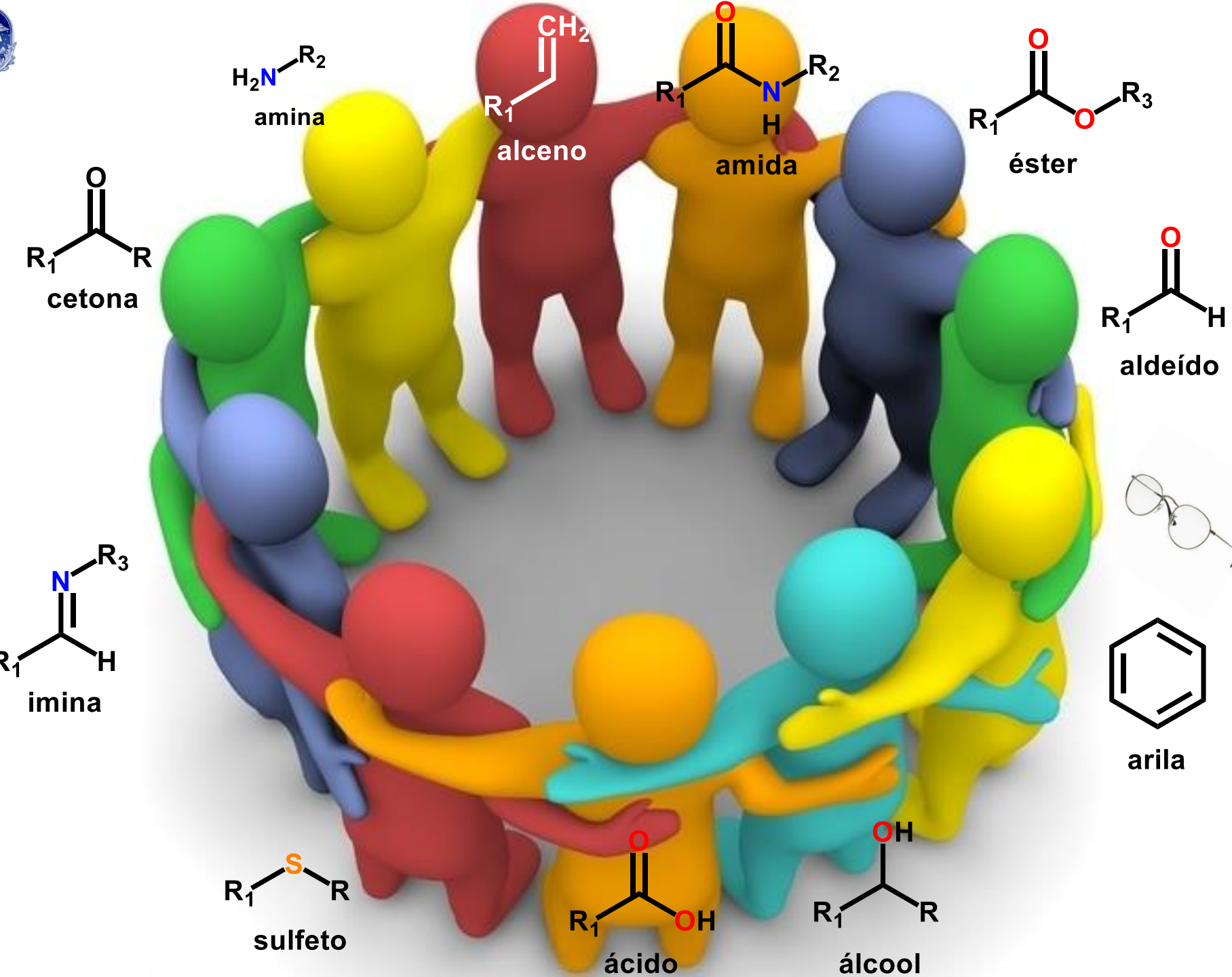
**Tópicos Especiais
em Química Medicinal**

Código: BMF-777

Carga Horária: 45 horas

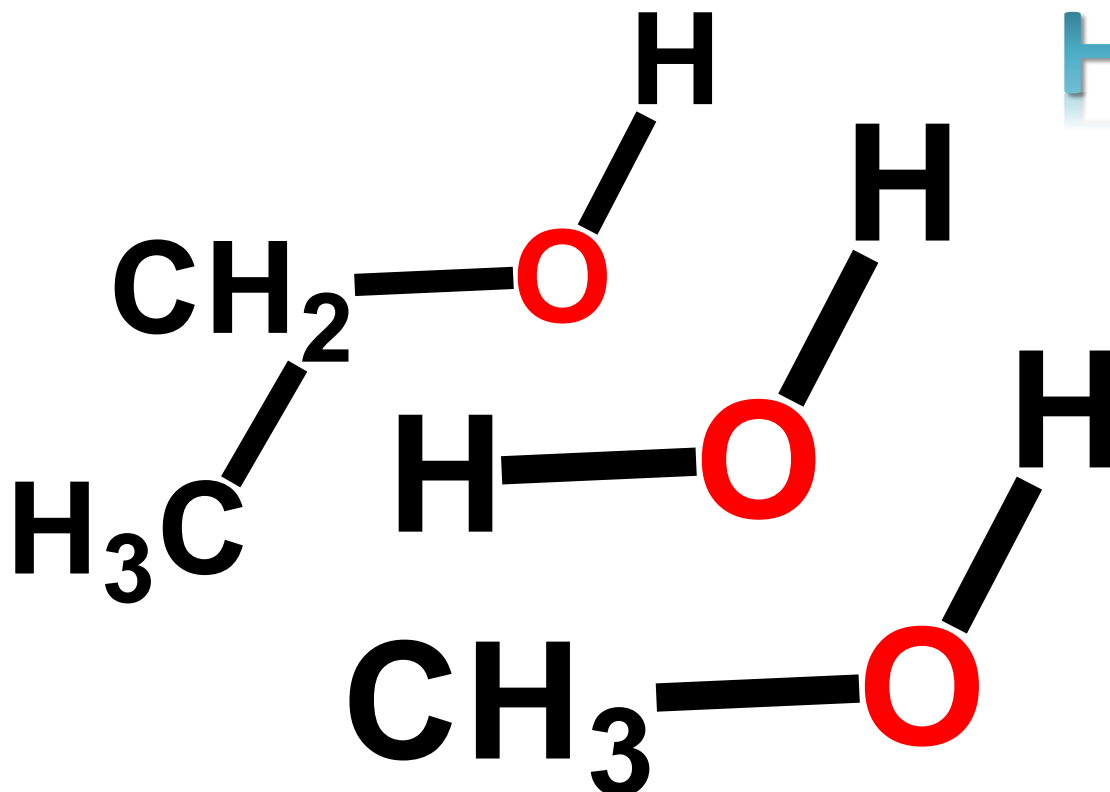
Créditos: 3 créditos



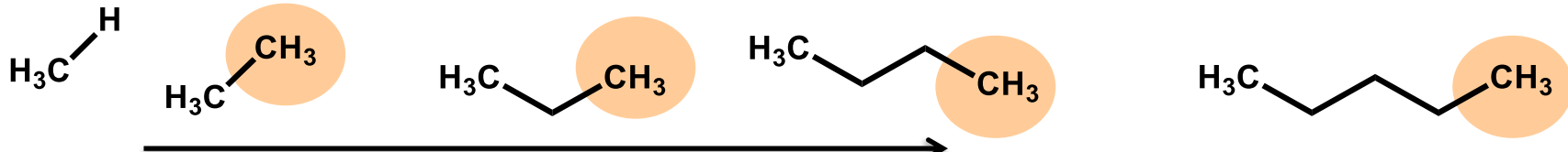




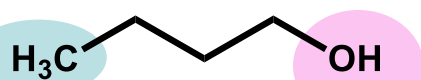
Homólogos



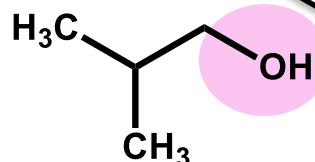
As séries homólogas



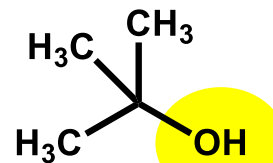
Lipofilicidade



n-butanol
solubility in water
8.2g/100g



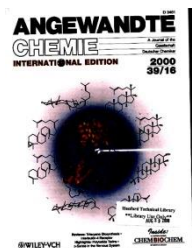
isobutanol
solubility in water
12,5 g/100g



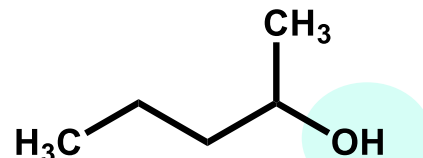
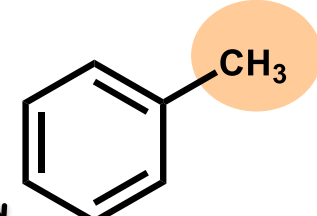
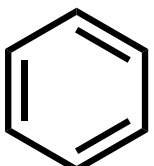
tert-butanol

solubility in water
miscible

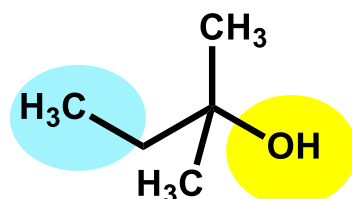
G Némethy, *Angew Chem Int Ed Engl* 1967, 6, 195



n-pentanol
solubility in water
2.4g/100g

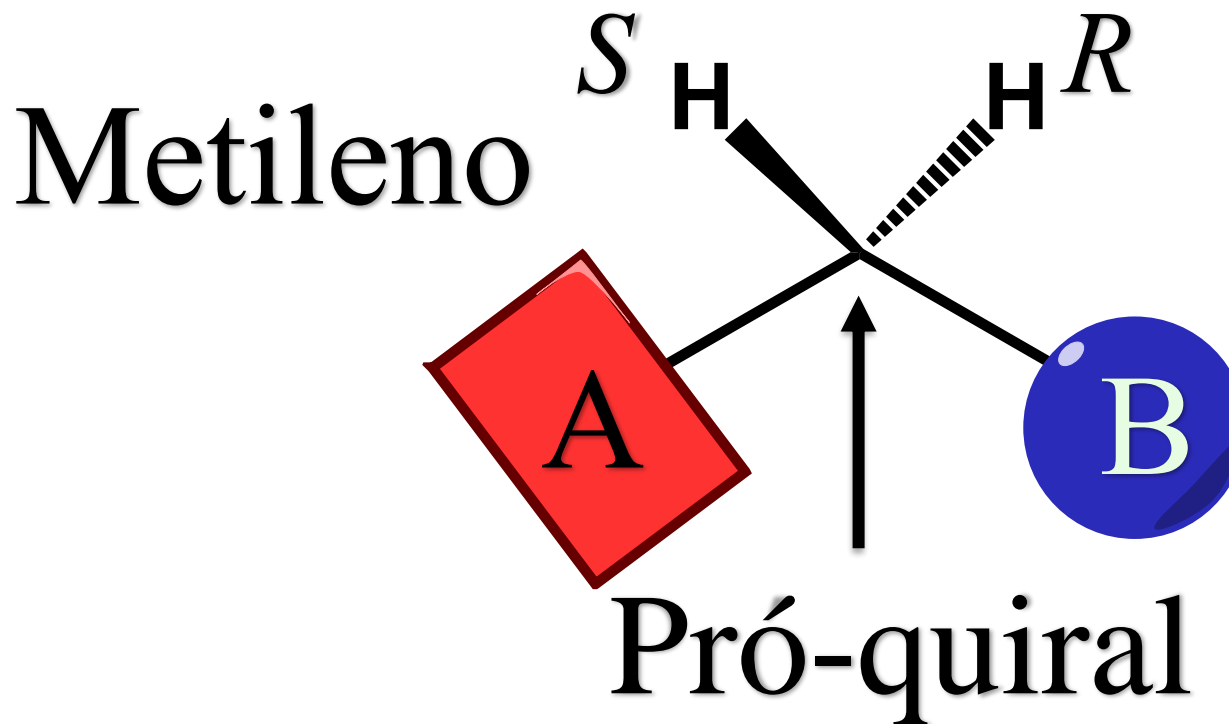


2-pentanol
solubility in water
4.9g/100g



neopentanol
solubility in water
12.2g/100g

Homólogos



Eutômero / Distômero

Homólogo superior

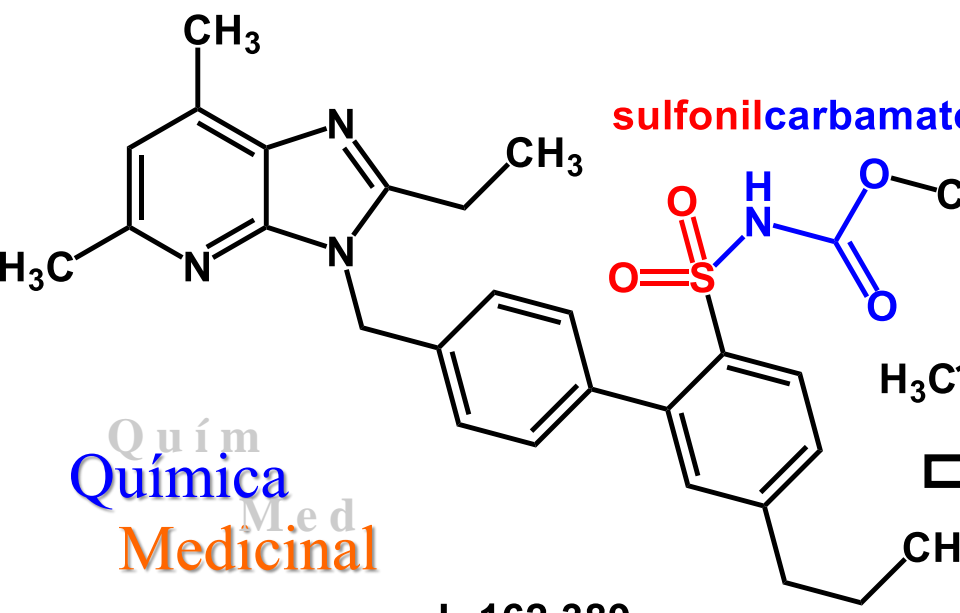
Homólogo superior

HOMOLOGIA

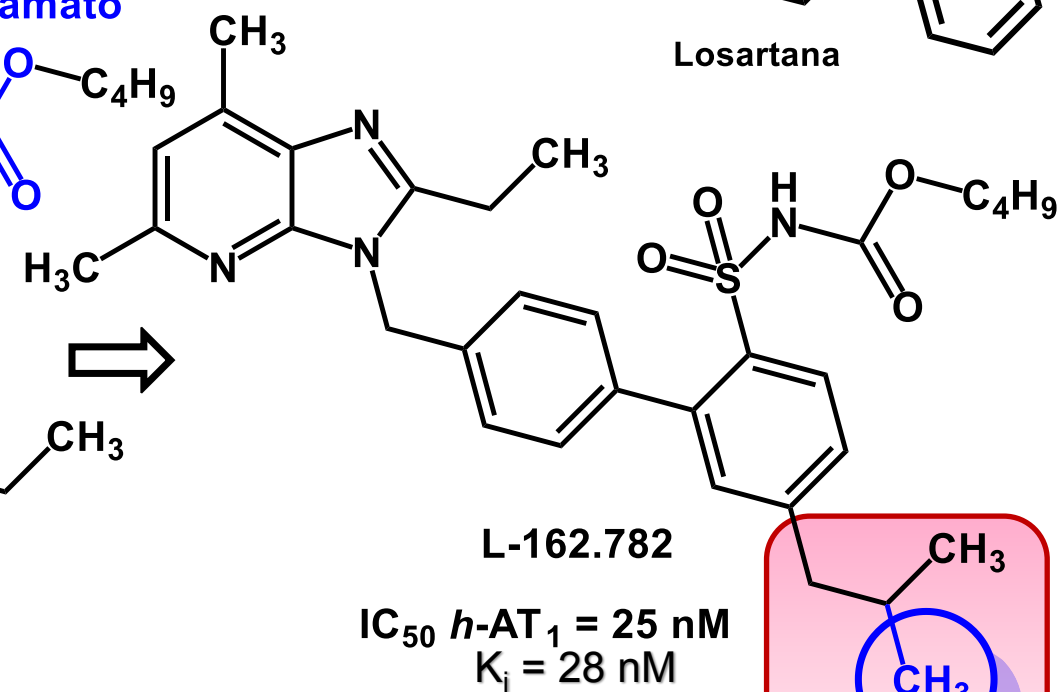


primeiro agonista não-peptídico de AT

Os sutis efeitos da estrutura química na atividade


 $IC_{50} \text{ } h\text{-AT}_1 = 4 \text{ nM}$
 $K_i = 8 \text{ nM}$

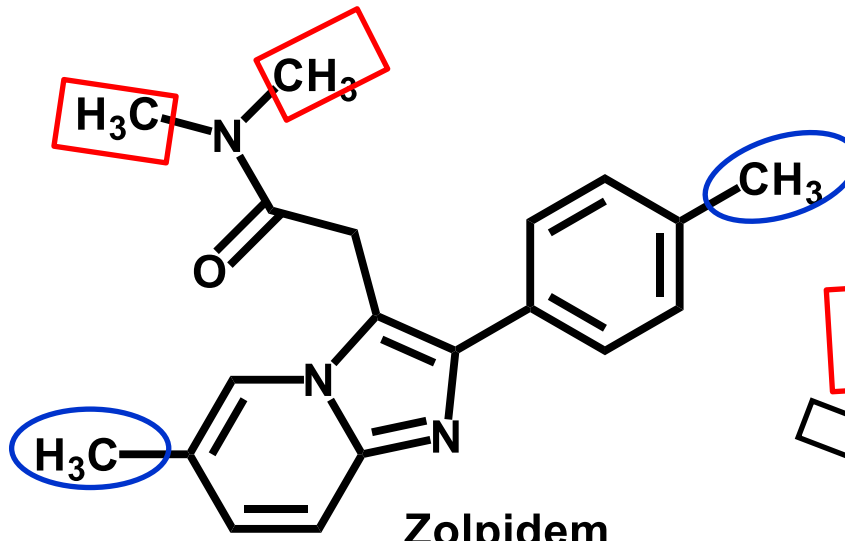
Ef. max. 64% (ag. parcial)



Ef. max. 6% (ant)

Química
Med
Medicinal

Homólogos



Zolpidem

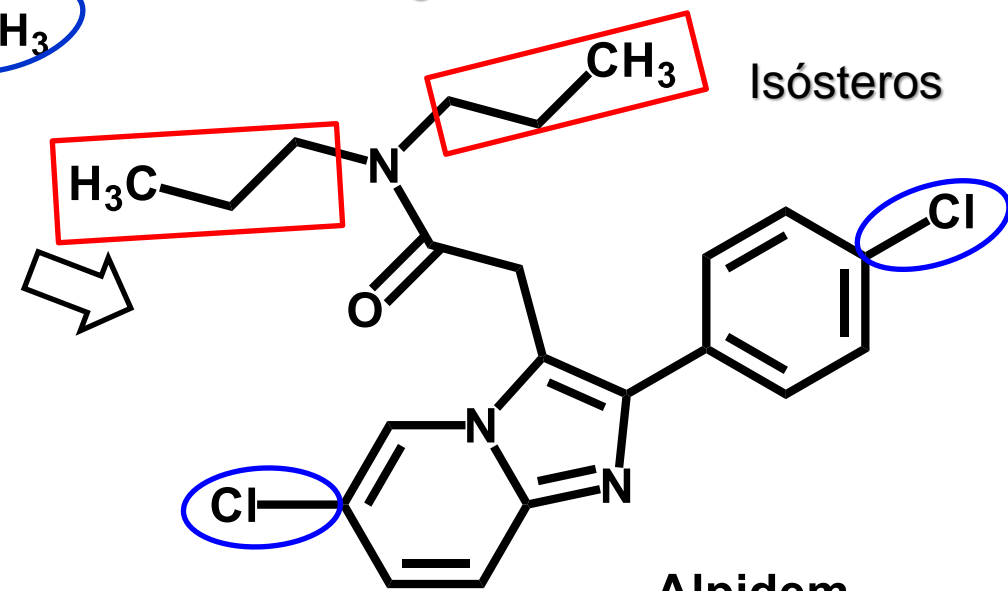
 $T_{1/2} = 2,5\text{h}$

F 67%

 $\text{Log } P = 3,07$

Melhor absorção oral

Homólogos



Alpidem

PD/PK $T_{1/2} = 18-20\text{h}$

F 13%

 $\text{Log } P = 5,49$

Efeito conformacional

Química
med
Medicinal
chem



N-metil análogo



*D. D. Viveiros, Efeito do derivado *N*-acildrazônico LASSBio-897 sobre a resposta inflamatória pulmonar na asma e silicose experimentais, Tese Doutor (Biologia Celular e Molecular) – FIOCRUZ, IOC, Rio de Janeiro, RJ, 2014;

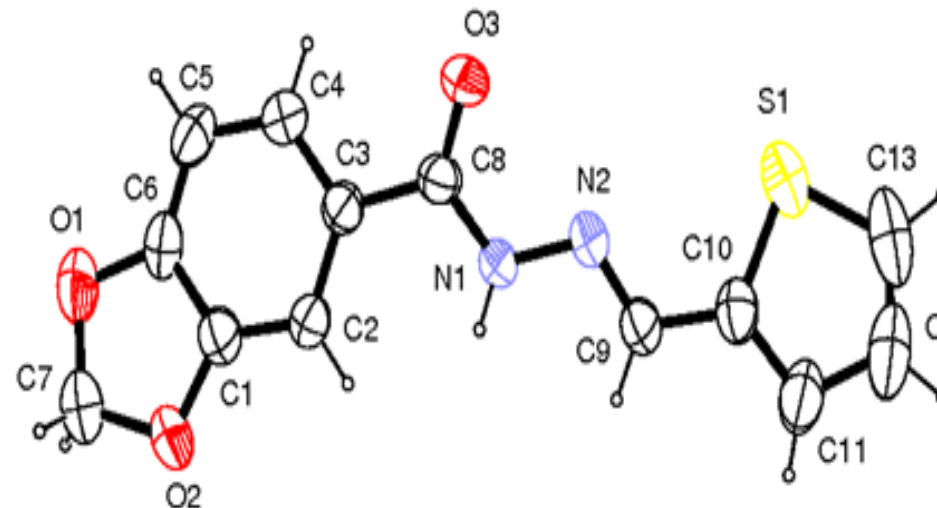
*P R Nasciutti, R Oliveira, E J Barreiro, Efeitos do LASSBio-897 sobre o sistema cardiovascular de cães hígidos da raça Beagle, Novas Edições Acadêmicas, 2016, ISBN 978-3-330-73277-3.

&G Zapata-Sudo et al., Am J. Hypertens. 2010, 23, 135; GAP Silva et al., Braz. J. Med. Biol. Res. 2013, 46, 263;

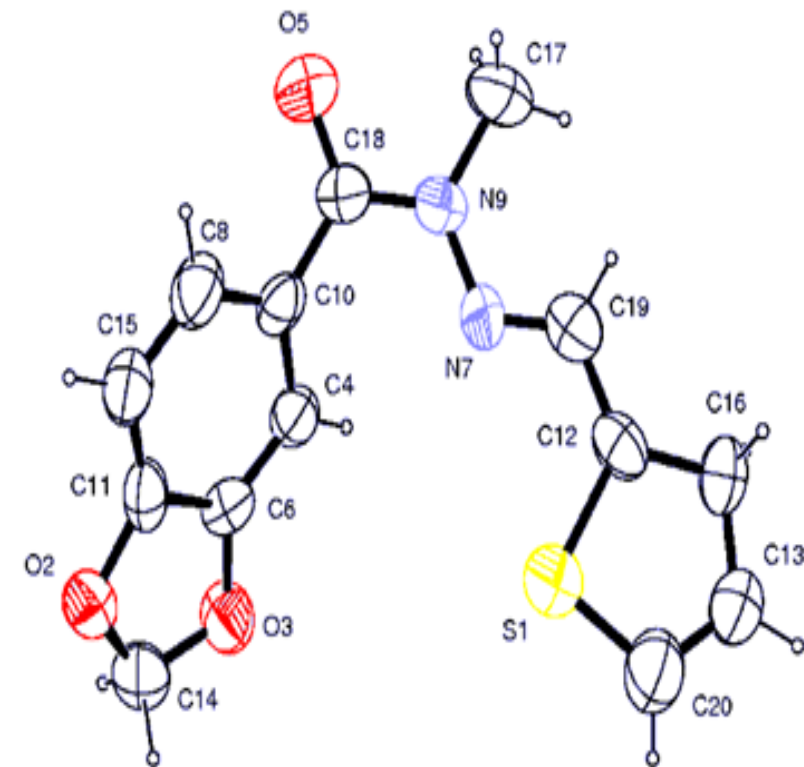
EB Marques et al., Int. J. Cardiol. 2015, 201, 282.

Efeito conformacional

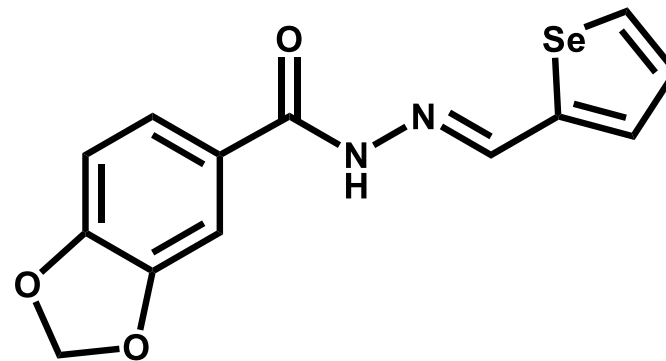
Difração de raios-X



LASSBio-294



LASSBio-785

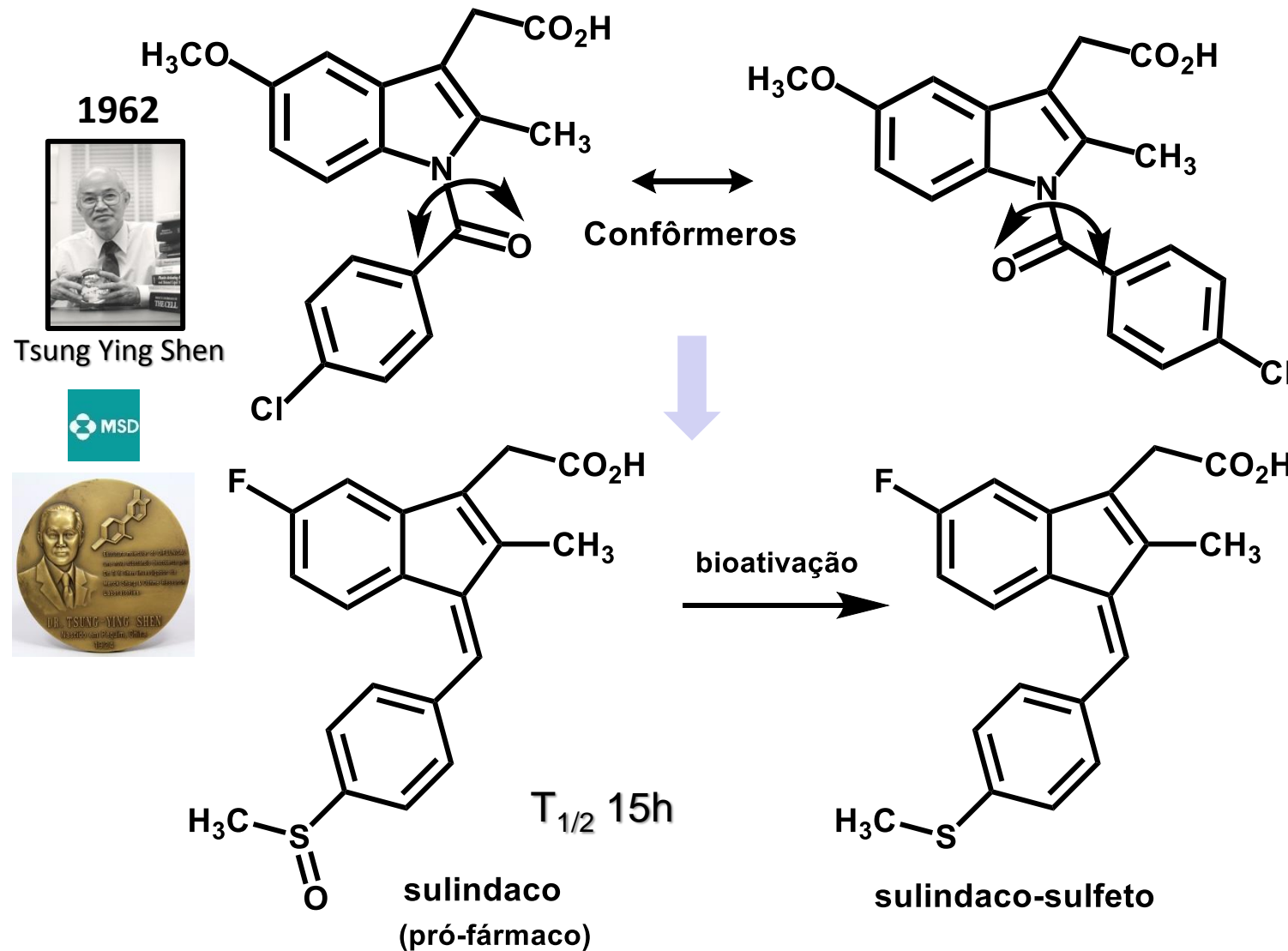


LASSBio-2202

JGB Pedreira, PhD Thesis,
IQ-UFRJ, 2020

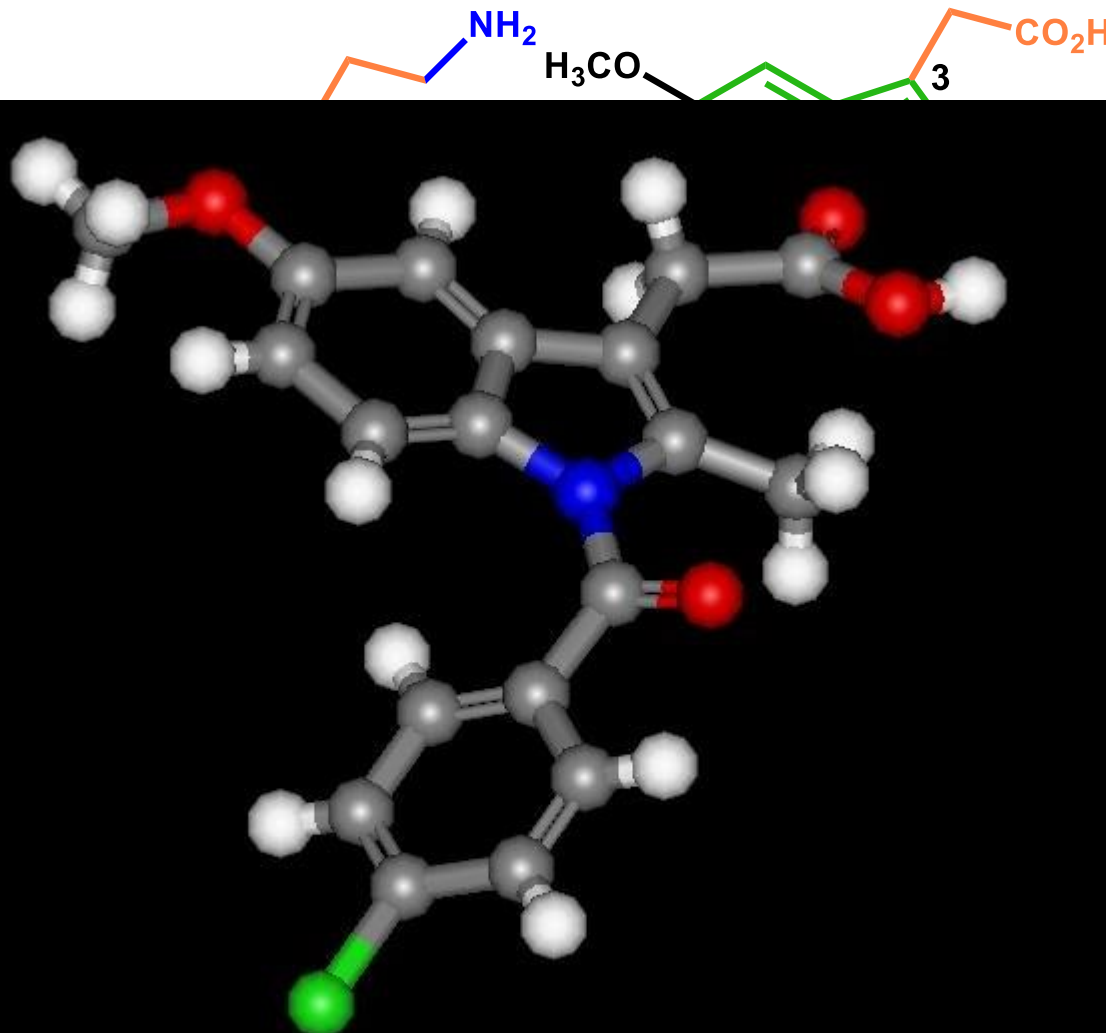
Efeitos conformativos

Conformação bioativa



T. Y. Shen et al., *J. Am. Chem. Soc.* **1963**, *85*, 488

T. Y. Shen, Toward more selective antiarthritic therapy, *J. Med. Chem.*, **1981**, *24*, 1

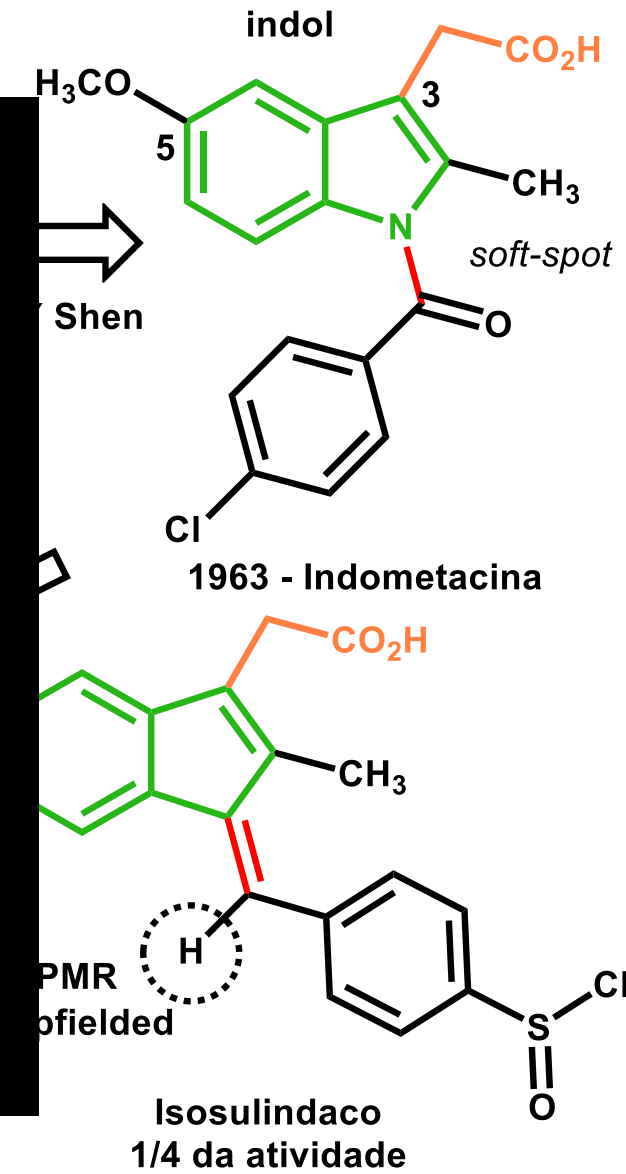


$\text{H}_3\text{C}-\text{S}$

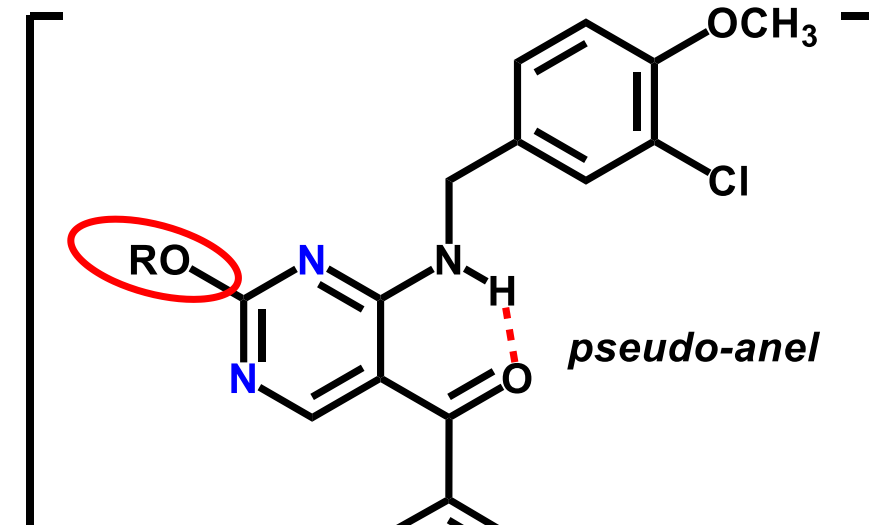
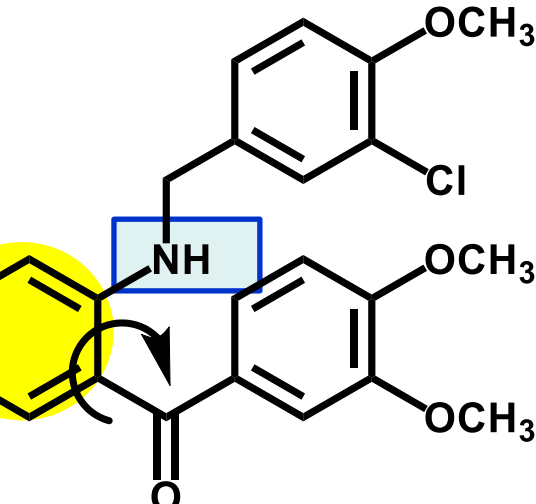
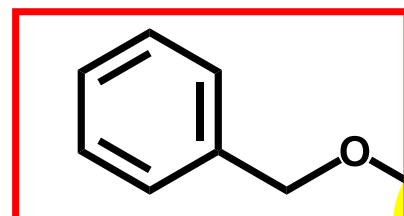
Metabólito > ativo

$\text{H}_3\text{CO}-\text{S}=\text{O}$

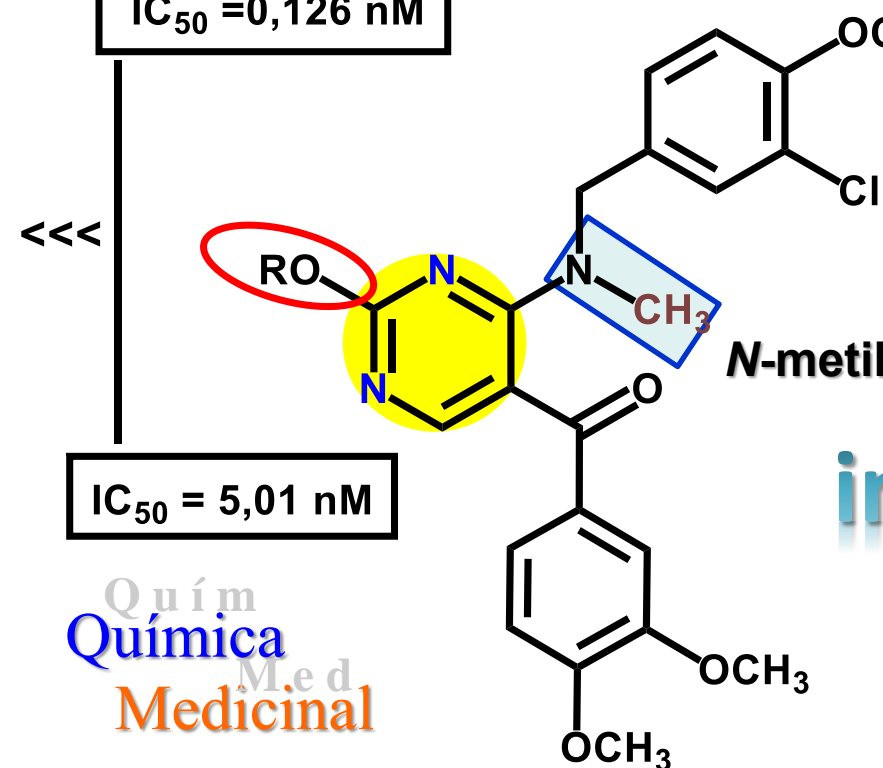
1976 - Sulindaco



PDE-5

 $IC_{50} = 0,126 \text{ nM}$ $IC_{50} = 5,01 \text{ nM}$

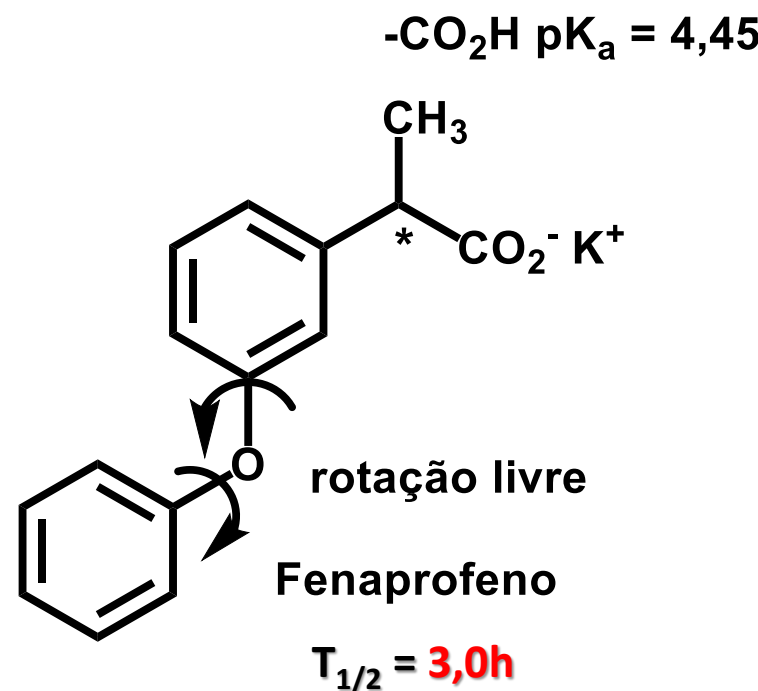
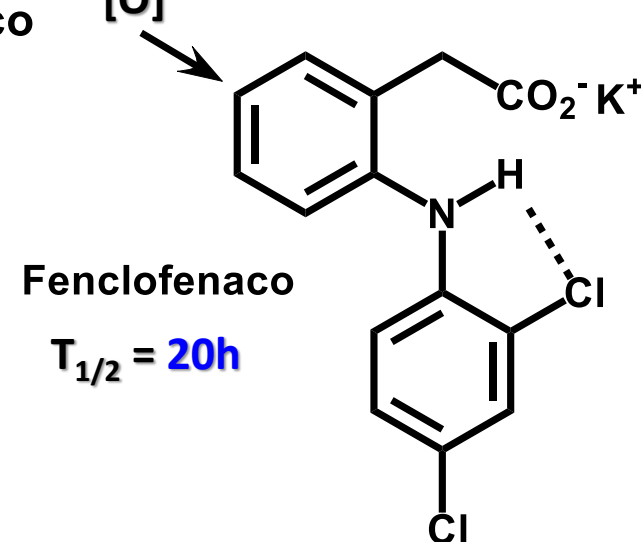
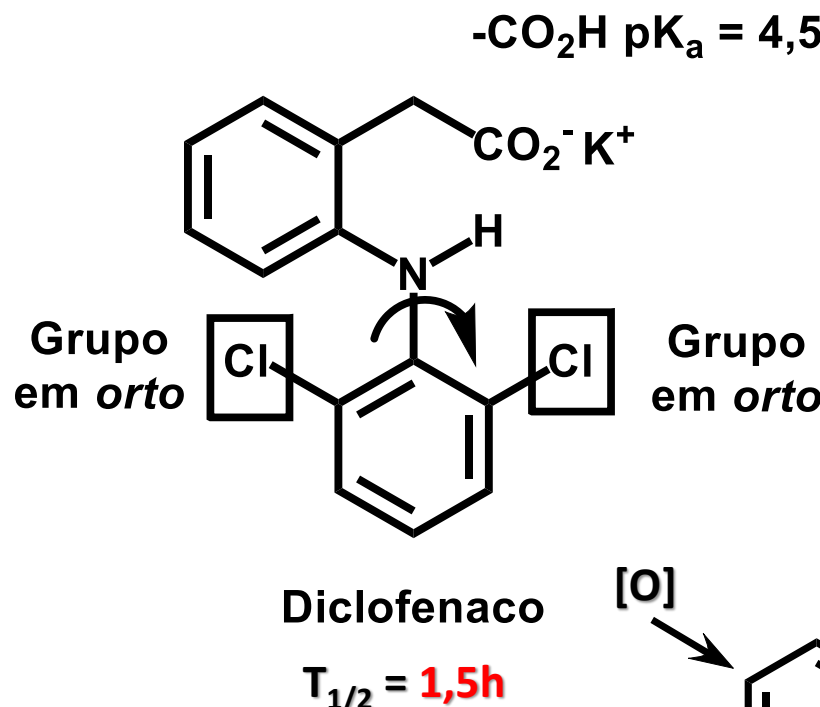
Efeitos conformacionais

Química
Med
Medicinal

Ligaçāo-H
intramolecular

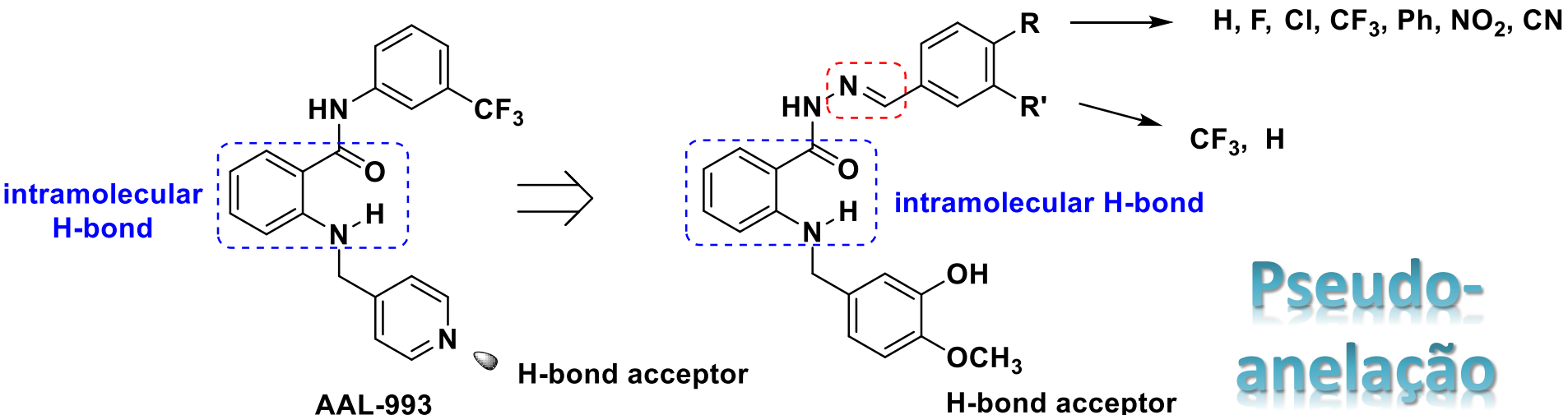
Efeitos conformacionais

Efeito *orto*-



Interação-H
intramolecular

Efeitos conformacionais



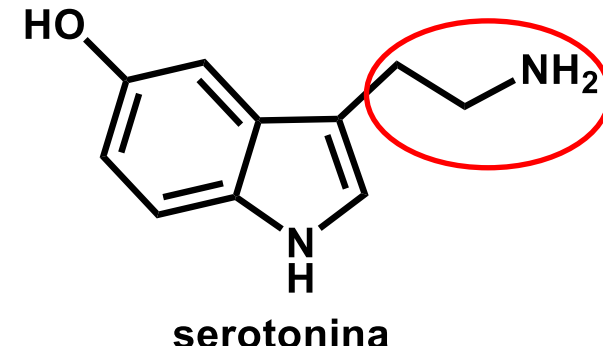
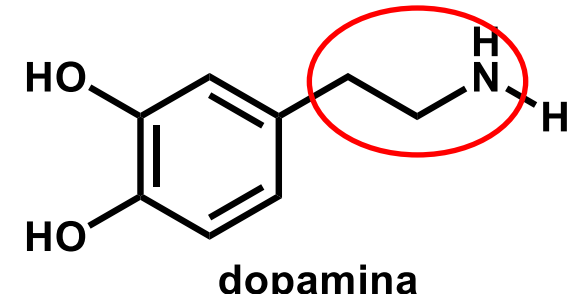
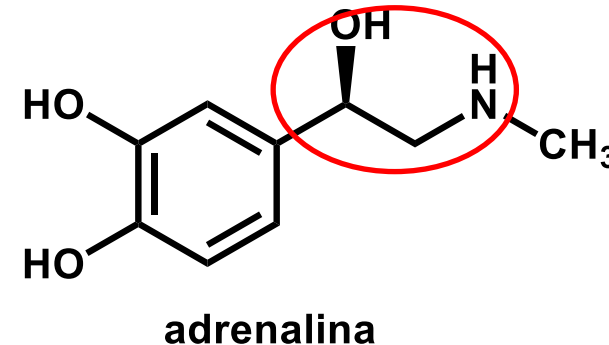
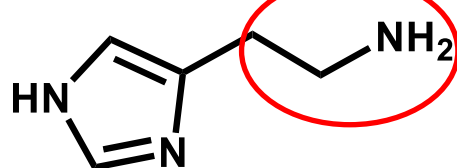
Pseudo-
anelação

- $R = H; R' = CF_3$ (LASSBio-2026)
- $R = H; R' = H$ (LASSBio-2027)
- $R = F; R' = H$ (LASSBio-2028)
- $R = Cl; R' = H$ (LASSBio-2029)
- $R = C_6H_5; R' = H$ (LASSBio-2051)
- $R = CF_3; R' = H$ (LASSBio-2052)
- $R = NO_2; R' = H$ (LASSBio-2053)
- $R = CN; R' = H$ (LASSBio-2054)

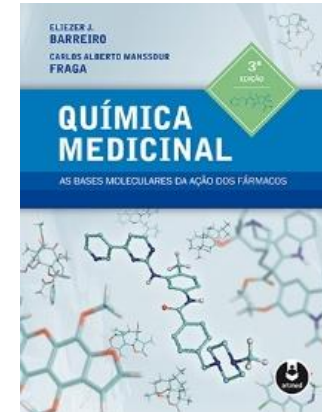
Fernanda P. Pauli, Dissertação de Mestrado, PGQU/UFRJ, 2018.

FP Pauli, J Martins, T Paschoalin, M Ionta, MLC Barbosa, EJ Barreiro, Novel VEGFR-2 inhibitors with a *N*-acylhydrazone (NAH) Scaffold, *Archiv der Pharmazie* **2020**, 353, e2000130..

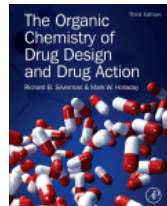
Efeitos conformatoriais



Cap. 4, p. 292



Aminas biogênicas



R. B. Silverman, M. W. Holladay, *The Organic Chemistry of Drug Design and Drug Action*, 3rd Edition, Academic Press, 2014

Conformeros

Projeção de Newman

Ângulos de Torção

